

## II. PCR V モデル内圧実験

— II-1 1/20 シングルキャビティ型 PCR V モデル内圧実験 —

PCR V 研究グループ

### II. Internal Pressure Tests for PCRV

— II-1 A 1/20-Scale Single Cavity Type PCRV Model —

PCRV Research Group

#### Abstract

The internal pressure test results of a single-cavity type 1/20-scale PCRV model, the prototype of which is a multi-cavity type PCRV adopted for a large high-temperature gas reactor, are presented in this paper. A model without S/G cavities was used to simplify the analytical idealization.

The elastic responses and inelastic behaviors both at overpressure and ultimate pressure of the model have good agreement with calculated results of non-linear analyses by the finite element method.

#### 概要

この報告は、PCRV構造物に関する一連の研究の一つであるシングルキャビティ型PCRVモデルの内圧実験結果について述べたものである。モデルは、大型HTGR用マルティキャビティ型PCRVをプロトタイプとし、その主要諸元の約1/20にしたものであるが、解析の単純化の為にS/Gキャビティ部を除外している。

モデルの弾性応答及び過圧力と終局圧力に対する挙動ともコンクリートひび割れを考慮した有限要素法による非線形解析結果と良く一致した。

#### 1. モデルの設計

このモデルの設計基本方針は、設計内圧 50 kg/cm<sup>2</sup>、設計温度荷重として内外温度差 40°C の荷重状態で、且つプレストレッシング荷重を組合せた時、基本的に弾塑性的な挙動をするようにしている。

又、ライナーについては、その破壊になるので、ライナー材そのものの加工性溶接性に重点を置いて設計している。プロトタイプの場合では、ライナーのシャーコネクター等が設計上大きな問題となるが、このモデルでは一切考慮していない。又、トップスラブに設けられるスタンドパイプについても、形状を単純化する為に除外した。

表1、表2に設計組合せ荷重状態におけるPCRV主要部の各種応力を示している。それに見られるように、熱応力を組合せた場合、無視できない大きさの引張応力が生ずる領域が認められる。しかし、ACI-ASME PCRV 設計基準案等に依れば、コンクリート熱応力はその粘弾性材的な特性により、50%近くまで低減できるとしているので、設計上支障はないものと考えている。

プレストレッシング荷重分布、鉄筋等の断面算定の面では、設計者の意向が大きく左右する。このモデル

では、次のマルティキャビティ型PCRVモデルとの対応がつくよう、基本的には同じ荷重分布及び鉄筋量としている。図1にモデル概要図を示す。

位置番号	$\sigma_r$	$\sigma_\theta$	$\sigma_z$	$\tau_{rz}$	主応力	
					$\sigma_1$	$\sigma_2$
A	-6.16	-3.99	-2.87	-1.75	-2.11	-6.92
B	-59.77	-59.37	-45.82	-0.31	-45.81	-59.78
C	-30.93	-22.53	-4.99	-11.86	-1.34	-43.58
D	-27.36	-38.17	-4.21	-28.77	15.23	-46.80
E	-38.95	-39.52	-21.04	-1.42	-20.93	-39.06
F	-49.34	-36.74	-15.49	0.67	-15.48	-49.35
G	-45.75	-42.49	-22.47	-0.16	-22.47	-45.75

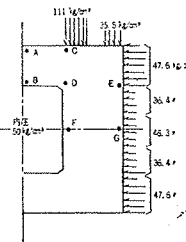


表1 組合せ荷重による応力(プレストレス、内圧)

位置番号	$\sigma_r$	$\sigma_\theta$	$\sigma_z$	$\tau_{rz}$	主応力	
					$\sigma_1$	$\sigma_2$
A	40.44	40.71	1.93	-2.65	40.62	1.75
B	-117.67	-117.37	-42.22	0.79	-42.22	-117.68
C	-2.07	18.74	-0.65	-14.17	12.83	-15.55
D	-95.96	-121.47	-64.71	-11.57	-60.89	-99.78
E	-42.14	-8.17	6.90	-6.07	7.64	-42.88
F	-54.14	-104.64	-72.39	0.07	-49.58	-67.83
G	-46.25	-4.29	21.33	-0.56	21.33	-46.25

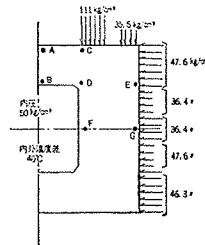


表2 組合せ荷重による応力(プレストレス、内圧、温度差)

## 2. モデルの製作

モデルの製作では次の点に留意した。

(1)ライナーの水密性の確保：予め実験の製作条件に合せたライナー材の溶接部の強度、変形試験、およびライナー容器製作後の水圧試験を行い水密性と変形能を確認後試験体の製作に供した。

(2)コンクリートの打設：コンクリートを一体打ちとするため、まず内側型枠として利用するライナー容器を含めて、補強筋、縦鋼棒用シース、モールドゲージ等をすべて、所定位置に組み上げた。また、コンクリート打設に当ってはライナー底部へのコンクリートの流入を確実にするため、外側型枠を2段に連結できるようにして、ライナー底部への流入を確認しながら打設した。締固めにはバイプレーターを用いた。

(3)コンクリートの養生：打設が厳寒期のため、一晩は室内の保温を行い、コンクリートの凝結後、表面を湿布養生し、3週間後に脱型した。

(4)支持条件：サポート部での拘束条件を小さくするため、PCRVとサポートの間にネオブレンマットを敷いた。

なお、このモデルに用いたコンクリートの配合表と強度試験結果および使用鋼材を表3.～5.に示す。また図2.～5.にそれらの力学的性状を示す。

W/C %	W/C+F %	S/A %	重量比 (kg/m³)				
			セメント	FA	水	砂	砂利
39.2	32.7	34.2	500	100	196	517	994
1,250							
粗骨材(川砂利)			6～2.5mm				
細骨材(川砂)			2.5mm以下				
セメント			普通ポルトランドセメント				

表-3 コンクリートの配合および骨材

	プレストレス導入時		内压	PC鋼棒 φ-16 4種PC丸鋼棒 φ-12
	継方向	円周方向		
材令	28日	46日	60日	90日
圧縮強度 (kg/cm²)	419 (566)	420	440	440
引張強度 (kg/cm²)	—	—	—	22
弾性係数 (kg/cm²)	—	$2.5 \times 10^5$	$2.7 \times 10^5$	$2.7 \times 10^5$
( )は標準水中養生				

表-4 コンクリート強度

表-5 鋼材

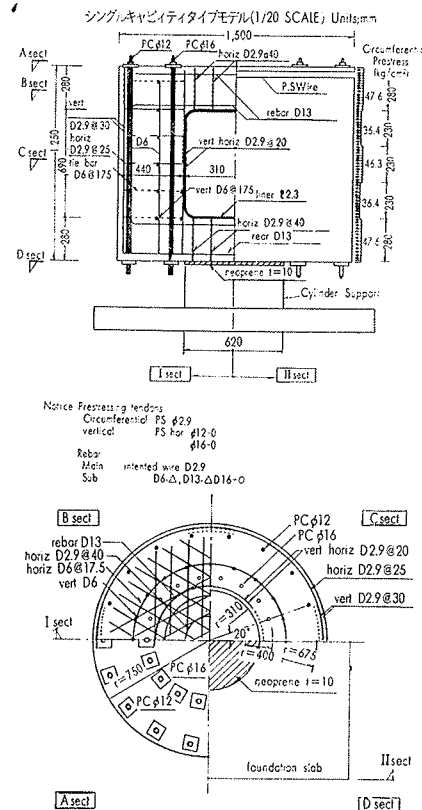


図-1 モデルの概要図

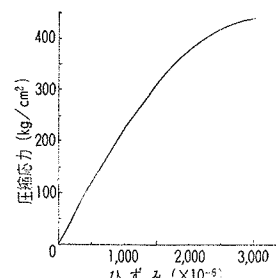


図-2 コンクリート応力ひずみ曲線 (材令90日)

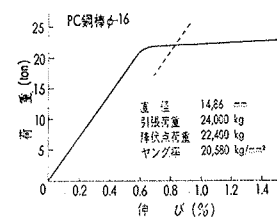


図-3 荷重一伸び線図 (PC鋼棒 φ-16)

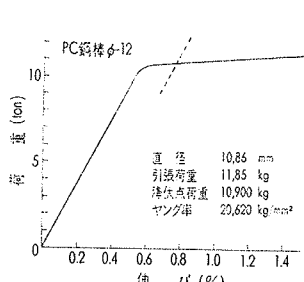


図-4 荷重一伸び線図

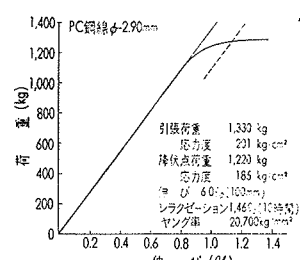


図-5 荷重一伸び線図 (PC鋼線 φ-2.9)

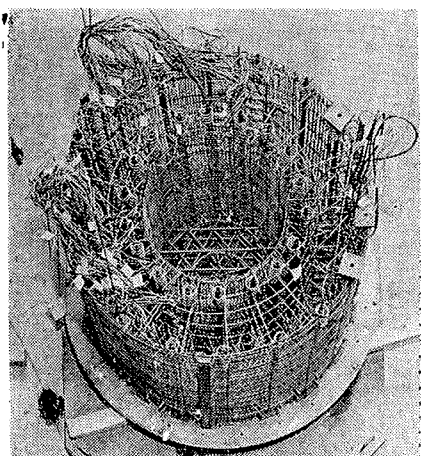


写真-1 鉄筋組立て状況

### 3. プレストレスの導入

このモデルでのプレストレス導入順序は、始めに縦方向プレストレスを所定量導入し、次に円周方向プレストレスをモデル下部から上部に向って順次所定量ずつ導入したものである。米国 AEC などでは、導入作業中にコンクリート引張応力を生じさせないようにかなり厳しい制約を設けているようである。しかし、この程度のモデルでは、そのプレストレス導入時コンクリート応力レベル特に支圧部応力レベルから見てコンクリートのひび割れは殆んど問題にならないし、又弹性縮みの影響も無視できると考え上記の方法を採用した。

#### (1) 縦方向プレストレスの導入

2台の連動ジャッキを用い、対称位置にある2本の鋼棒を同時に緊張する方法を採用した。導入時における鋼棒の緊張力はテンションロッド部に設けたロードセルで検出し、その他半数の鋼棒については、その定着端に設けたカラーナット式ロードセルでその緊張力の変動量を検出した。なお、鋼棒緊張力は内側 $\phi 16 \cdots 15.5\text{ton}$ 、外側 $\phi R \cdots 8.35\text{ton}$ である。図-6に縦方向プレストレス導入に依るコンクリート歪分布を示す。

#### (2) 円周方向プレストレスの導入

円周方向プレストレスは、モデル製作用のワイヤーワインディング装置を用いて導入した。写真-2にその作業状況を、図-7に装置概要図を示す。

その導入方法は、まず無緊張鋼線を試験体に所要回数巻付けた後、左右のリールを通して、一端を試験体に定着後、重錘で緊張力を与えた状態で、試験体を逆回転させ、緊張鋼線を順次巻付けてゆくものである。この装置の特徴は、緊張力を与えるために重錘を使用

していること、および巻付いてゆく鋼線の緊張部分の距離が長いことにより緊張力の変動が極めて安定した、プレストレスが得られることにある。

モデルの側壁には鋼製のチャンネルを17段取り付け各々のチャンネルには800kgの張力を与えた $\phi 2.9\text{mm}$ PC鋼線を所要導入量に合せて27~34回3層に巻き付けた。尚、鋼線は各チャンネル毎にモデルに設けられた固定治具にクサビで定着した。

又、円周方向プレストレス導入時の歪測定は、1チャンネル分の導入作業終了後毎に行った。その結果を図-8に示す。図-9は円周方向プレストレス導入作業完了後のコンクリート歪分布を示したものである。

図-5、図-9に示されるように、測定結果と計算結果との比較から、このモデルはほぼ所定のプレストレスが導入されたと思われる。尚、プレストレス導入作業中においてはコンクリートひび割れは認められなかった。

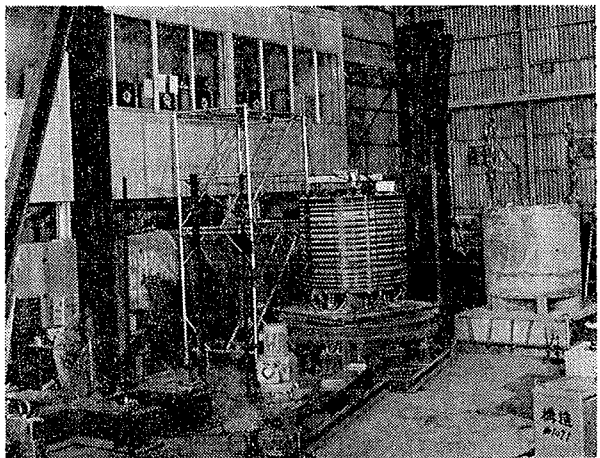


写真-2 ワインディング作業状況

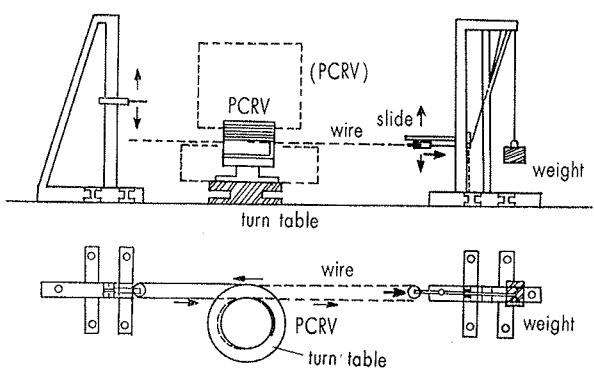


図-7 ワイヤーワインディング装置概要図

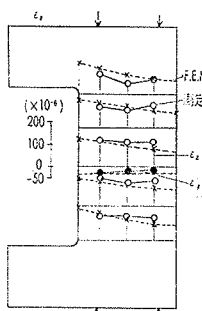


図-6 縦方向プレストレス導入時ひずみ分布

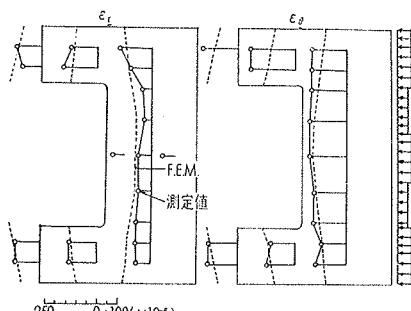
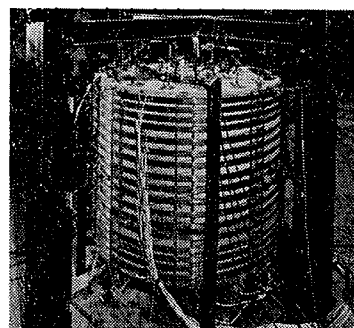


図-9 円周方向プレストレス導入時のひずみ分布



### 写真一3 内圧実験状況

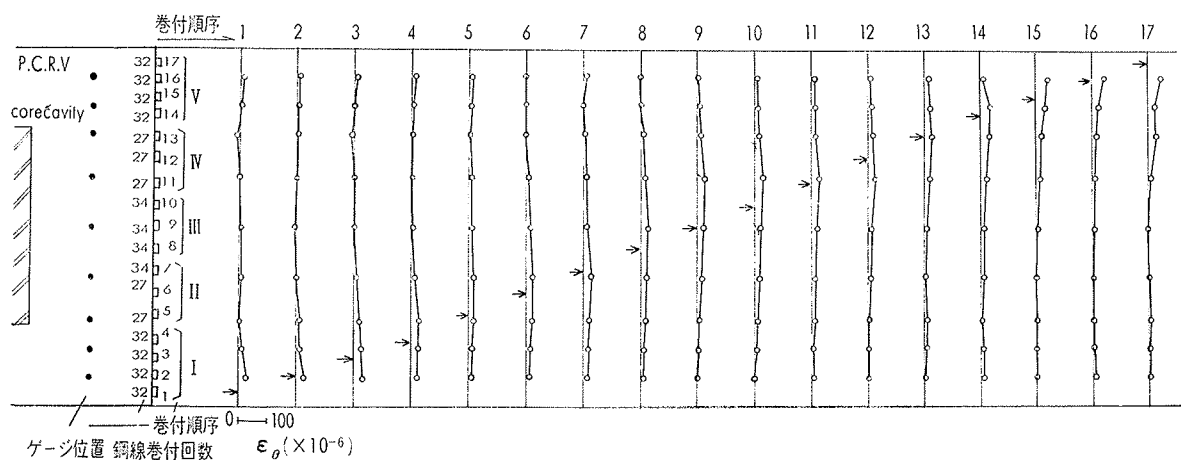


図-8 各チャンネル導入時の  $\varepsilon_\theta$  分布（側壁中心部）

#### 4. 内圧実験

### (1) 実験方法

容量300 kg/cm<sup>2</sup>, 吐出量10 l/min の電動水圧ポンプを用いて加圧した。加圧サイクルは50 kg/cm<sup>2</sup> で5回, 75, 100, 150 kg/cm<sup>2</sup> で各1回行い, その次の回で破壊させた。尚, 標準加圧ステップを5 kg/cm<sup>2</sup> とした。

モデルの変形、歪等の測定点数は全体で350点で、その内、30点は変形、残り320点はコンクリート、繊張材、鉄筋等の歪を測定したものである。変形測定には、特にキャンチレバー型歪ゲージ式の変換器（分解能1/500mm）を作製し、それを用いた。

## (2) 実験結果

i) 変形: 図-10, 11にトップスラブ中央点、及び側壁中腹位置の内圧一変位曲線を示す。図に見られるように、トップスラブ中央点の変位曲線では内圧  $80 \text{ kg/cm}^2$  程度から変位が増大し始めていることが認められるが、側壁中腹のそれからは、内圧  $150 \text{ kg/cm}^2$  程度まで認められない。又、設計内圧  $50 \text{ kg/cm}^2$  の範囲内の繰り返し載荷に対し、モデルの剛性低下は認められず、それ以後の大きな内圧に対する非弾性域における

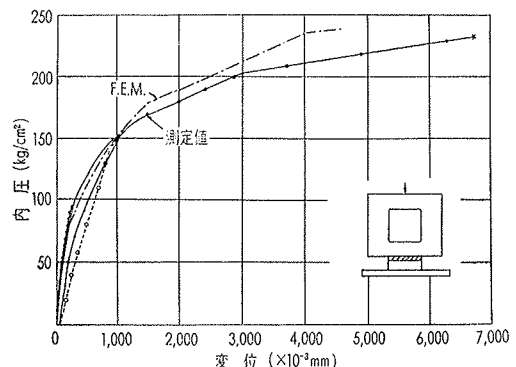


図-10 トップスラブ中央点の内圧-変位曲線

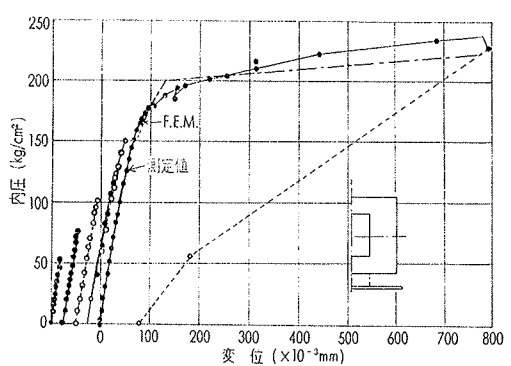


図-11 側壁中腹位置の内圧一変位曲線

る挙動でも充分な復元性を持っていることが認められる。尚、解析結果を図中に併記しているが、両者は良く一致した。

図12. は各内圧時のモデル表面の変位分布を示したものである。トップスラブの変形に較べ側壁部の変形は小さく、又内圧  $150 \text{ kg/cm}^2$  程度まではその分布性状も直線的である。それ以後は、上下端のせり出しと中腹部のふくらみが認められるようになる。

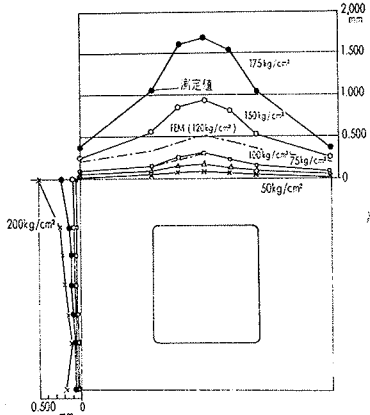


図-12 モデル表面変位分布の推移

ii) コンクリートひずみ：図13. ~14. に内圧  $50 \text{ kg/cm}^2$  及び  $120 \text{ kg/cm}^2$  時におけるコンクリートひずみ分布を示す。図に見られるように、側壁部では内圧  $120 \text{ kg/cm}^2$  時でも実験値と解析値は良く一致しているが、上下スラブ部では、差が認められる。

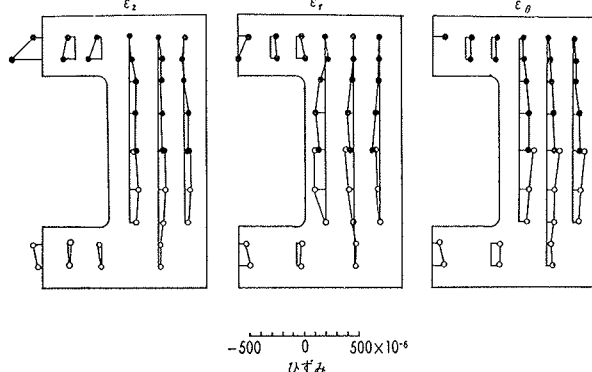
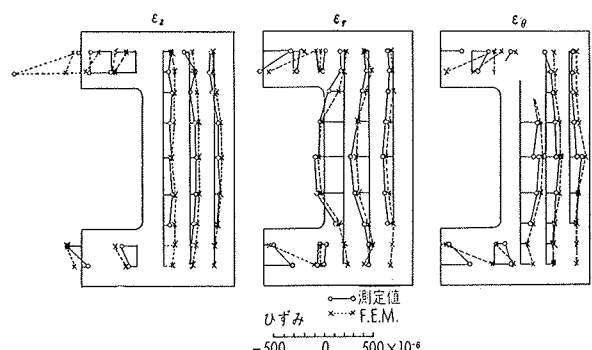
図-13 内圧  $50 \text{ kg/cm}^2$  におけるコンクリートひずみ分布図-14 内圧  $120 \text{ kg/cm}^2$  におけるコンクリートひずみ分布

図15. に上下隅角部内側、および側壁中腹内側のコンクリートの荷重-ひずみ曲線を示す。隅角部では内圧  $80 \text{ kg/cm}^2$  程度からひずみの増加率が大きくなり、又定量的な面からもひび割れが発生したと考えられる。

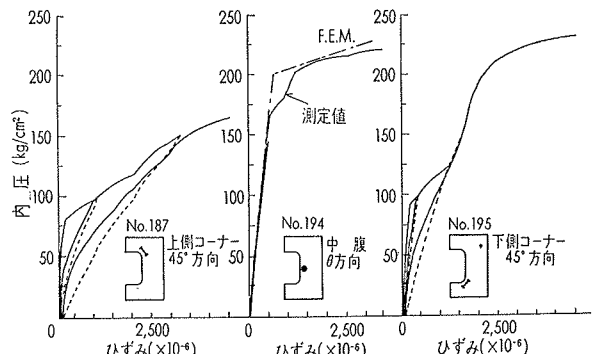


図-15 内側コンクリートの荷重-ひずみ曲線

iii) 緊張材の挙動 図-16は、側壁上端と中腹のワインディング鋼線のひずみ増分および縦鋼棒の反力と内圧の関係を示したものである。内側鋼棒は終局時には塑性域に入っている。図-17にはワインディング鋼線のひずみ増分の分布を示す。これら緊張材の挙動はモデルの変形性状と良く対応している。

iv) 鉄筋の挙動：図18. はモデル各位置におけるフープ筋の内圧-ひずみ関係を示したものである。鉄筋のひずみの挙動には、コンクリートひび割れ、付着応力等局部的な要因が関係する。このため、解析上の巨

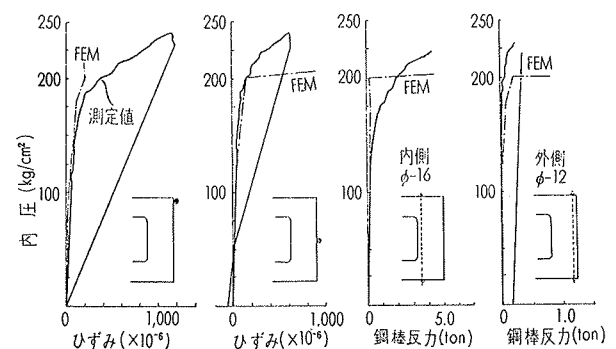
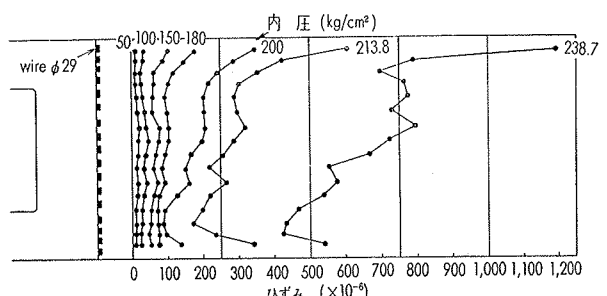
図-16 ワインディング鋼線の荷重-ひずみ曲線  
と縦鋼棒の荷重-反力関係

図-17 鋼線のひずみ増加量分布の推移

観的な仮定条件そのものは、実際の条件と対応しない面を多分に持っているが、図に見られるように、定性的には実験値とは比較的良い一致を示している。

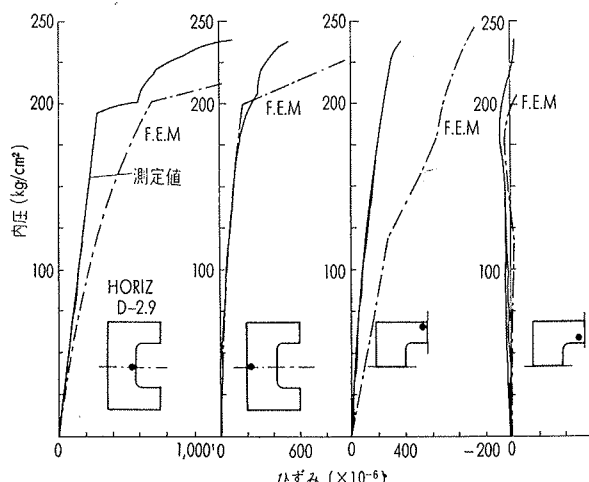


図-18 補強筋の内圧-ひずみ関係

v) ライナーの挙動：図19. にライナー外表面の内圧-ひずみ関係を示す。ライナーはそれに密着したコンクリートとの相互作用に依り複雑な挙動をしている。尚、定性的に判断した場合、低荷重域においては薄膜的な挙動を示すが、圧力増大と共に壁体全体の曲げ変形に依る影響が現れてくるものと考えられる。特にトップスラブ中央位置では、その傾向が見られる。

vi) コンクリートひび割れ状況：図-20にコンクリートひび割れパターンを示す。又表-6にはモデルの内圧に対する主な挙動を掲げる。コンクリートのひび割れは、ゲージの応答、肉眼観察等により判断した。

ひび割れ発生状況を解析結果と比較すると、トップスラブの放射状ひびわれ発生内圧とその進展状況、隅

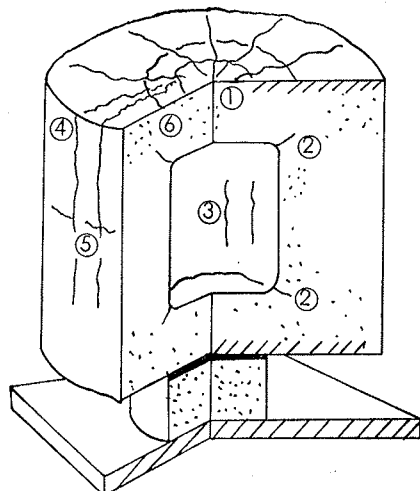


図-20 ひびわれのパターン

内圧 (kg/cm²)	P C R V の 挙 動
0 ~ 60	弾性挙動を示し、ひびわれの発生は認められない。
75 ~ 80	トップスラブ表面中央部にひびわれ発生。①
80 ~ 90	内壁上下隅角部にひびわれ発生。② トップスラブの変形増える。
150	トップスラブの放射状曲げひびわれ、キャビティ上部のほぼ全面に進展。
150 ~	側壁中腹内側縦ひびわれ発生③。側壁の変形増え始める。
190	側壁縦ひびわれ、外側表面に出る。④
200 ~	側壁中腹表面の一部に水平ひびわれ発生⑤。 トップスラブの内側鋼棒付近に、円周状のせん断ひびわれ発生⑥。
238	水がトップスラブひびわれから流出を始める。

表-6 PCRV の内圧に対する挙動

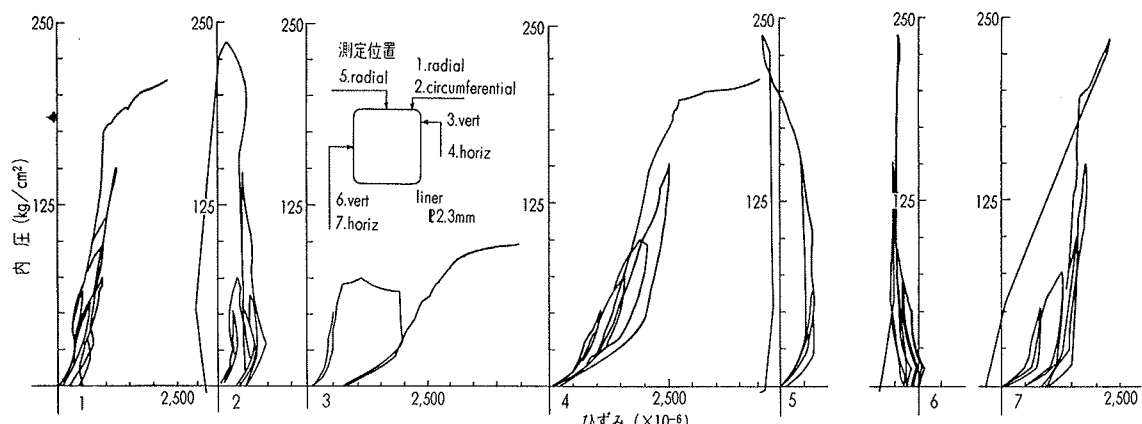


図-19 内圧によるライナープレート各点のひずみ履歴

角部内側の斜めひび割れ、側壁中腹、内側の縦ひび割れ等多少の相違は認められるが、ほぼ良好な対応を示している。

内圧が  $190 \text{ kg/cm}^2$  以上になると、側壁外表面に縦ひび割れが発生し、 $200 \text{ kg/cm}^2$  以上では、側壁中腹外表面に水平ひび割れ、トップスラブ表面に円周状のひび割れが発生し始める。しかし内圧がこの程度になるとコンクリートのひび割れ領域がかなり広範囲にひろがり、定量的には解析結果との対応がつき難くなっている。

最終的なトップスラブコンクリートのひび割れ状況を写真4に示す。それに見られるように、放射状ひび割れがスラブ全域に進展し、側壁部縦ひび割れに結びついている。ボトムスラブ底面もほぼ同様の状況が認められた。更に、トップスラブには、内側のP C鋼棒位置とそれより中央寄りの位置に円周状ひび割れが現れている。前者は浮上りの傾向を持ち、せん断ひび割れ的なものであると考えられる。後者は曲げに起因するものもある。

## 5. まとめ

以上に述べた内圧実験結果から次の事項が言える。

(1)コンクリートひび割れ発生から破壊に至るまでのPCRV モデルの内圧に対する非弾性挙動をほぼ正確に把握することが出来た。又、緊張材、鉄筋等の挙動についても、把握できたものと思う。

(2)破壊に至るまでの様相は漸進的で、且つ充分な耐力と韌性を持つことが確認された。

(3)軸対称回転体構造物に開発した有限要素法による非弾性挙動解析結果は実験結果と良好な一致を示し、解析的に弾塑性挙動を把握できることが認められた。

尚、この実験における PCRV モデル非弾性挙動に

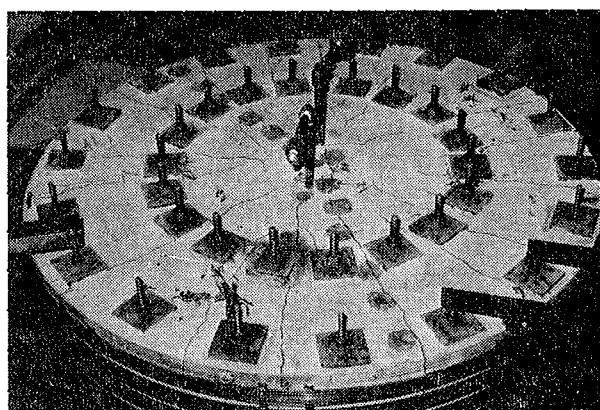


写真4 トップスラブの最終ひびわれ状況

関する解析法については、本所報の“有限要素法によるRC部材の弾・塑性解析（その2. 軸対称回転体）”で述べている。

次回には、1/20マルティキャビティ型 PCRV 内圧実験の結果を報告する予定である。

## 参考文献

- 1) S. L. Paul, "Structural Behavior of Prestressed Concrete Reactor Vessels" July, 1971. ASCE
- 2) F. S. Ople, Jr., H. L. Gotschall, "Fort St. Vrain Unit 1-PCRV Pressure Test Report for the Public Service Company of Colorado" Gulf-GA-A 10839
- 3) S. L. Paul, M. A. Sozen, etc., "Strength and Behavior of Prestressed Concrete Vessels for Nuclear Reactors, Vol. 1~2" July, 1969. Univ. of Illinois
- 4) B. I. Karlsson, "Shear Strength of End Slabs With and Without Penetrations in Prestressed Concrete Reactor Vessels" 1971, Univ. of Illinois